

# Разностные схемы для уравнений динамики вязкой несжимаемой жидкости. Лекция 8

О.С.Мажорова

Сентябрь 2020 г.

# Разностная формула Грина.

$$\begin{aligned}
 (\Delta\omega, \psi)_h^{(0)} &= \sum_{(i,j) \in I \times J} \hbar_i^x \hbar_j^y (\omega_{x\tilde{x}} + \omega_{y\tilde{y}}) \psi_{ij} = \sum_{j=1}^{N_y-1} \hbar_j^y \sum_{i=1}^{N_x-1} (\omega_x - \omega_{\bar{x}}) \psi_{ij} + \dots = \\
 &\sum_{j=1}^{N_y-1} \hbar_j^y \left[ \sum_{i=1}^{N_x-1} \omega_x \psi_{ij} - \sum_{i=0}^{N_x-2} \omega_x \psi_{i+1j} \right] \dots = - \sum_{j=1}^{N_y-1} \hbar_j^y \left[ \sum_{i=1}^{N_x-2} \omega_x \psi_x h_{i+1/2}^x + \right. \\
 &\left. \omega_x (N_x - 1, j) \psi_{N_x-1j} - \omega_x (0, j) \psi_{1j} \right] + \dots = - \sum_{j=1}^{N_y-1} \hbar_j^y \sum_{i=0}^{N_x-1} \omega_x \psi_x h_{i+1/2}^x + \dots \\
 &- \sum_{j=1}^{N_y-1} \hbar_j^y \sum_{i=0}^{N_x-1} (\omega_{i+1j} - \omega_{ij}) \psi_x + \dots = - \sum_{j=1}^{N_y-1} \hbar_j^y \left[ \sum_{i=1}^{N_x} \omega_{ij} \psi_{\bar{x}} - \sum_{i=0}^{N_x-1} \omega_{ij} \psi_x \right] + \dots \\
 &\sum_{j=1}^{N_y-1} \hbar_j^y \left[ \sum_{i=1}^{N_x-1} \omega_{ij} (\psi_x - \psi_{\bar{x}}) + \omega_{N_x j} \psi_{\bar{x}} (N_x, j) - \omega_{0j} \psi_x (0, j) \right] + \dots = - \sum_{(i,j) \in I \times J} dS_{ij} \omega_{ij}^2
 \end{aligned}$$

## Уравнение теплопроводности.

$$\frac{\partial T}{\partial t} + \frac{\partial}{\partial x} (uT) + \frac{\partial}{\partial y} (vT) = \kappa \Delta T \quad (1)$$

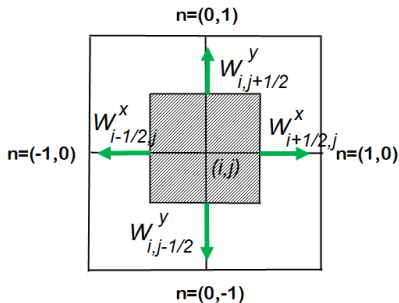
$$\frac{\partial \omega}{\partial t} + \frac{\partial}{\partial x} (u\omega) + \frac{\partial}{\partial y} (v\omega) = \frac{1}{Re} \Delta \omega$$

Уравнения переноса тепла и переноса завихренности имеют совершенно одинаковую структуру. Умножим уравнение (1) скалярно на  $T$ :

$$\begin{aligned} \int_D \frac{1}{2} \frac{\partial}{\partial t} (T)^2 dx dy + \int_D \frac{\partial}{\partial x} (uT) T + \frac{\partial}{\partial y} (vT) T dx dy &= \kappa \int_D \Delta T \cdot T dx dy. \\ \int_D \frac{\partial}{\partial x} (uT) T + \frac{\partial}{\partial y} (vT) T dx dy &= - \int_D \left[ uT \frac{\partial T}{\partial x} + vT \frac{\partial T}{\partial y} \right] dx dy \quad (2) \\ - \frac{1}{2} \int_D \left[ u \frac{\partial T^2}{\partial x} + v \frac{\partial T^2}{\partial y} \right] dx dy &= \frac{1}{2} \int_D T^2 \left[ \frac{\partial u}{\partial x} + \frac{\partial v}{\partial y} \right] dx dy = 0 \end{aligned}$$

Как добиться, чтобы (2) выполнялось?

# Аппроксимация конвективных членов. (Лекция 7)



Потоки в серединах сторон  
ячейки  $S_{ij}$  :

$$W_{i+1/2,j}^x = 0.5(u_{i+1,j}\omega_{i+1,j} + u_{ij}\omega_{ij})$$

$$= 0.5(\psi_y^o(+1_x)\omega_{i+1,j} + \psi_y^o\omega_{ij})$$

$$W_{ij+1/2}^y = 0.5(v_{ij+1}\omega_{ij+1} + v_{ij}\omega_{ij})$$

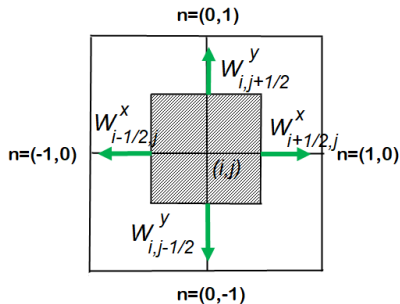
$$= -0.5(\psi_x^o(+1_y)\omega_{j+1} + \psi_x^o\omega_{ij})$$

$$\mathcal{K}_h(\psi, \omega) \hbar_i^x \hbar_j^y = (W_{i+1/2,j}^x - W_{i-1/2,j}^x) \hbar_j^y + (W_{ij+1/2}^y - W_{ij-1/2}^y) \hbar_i^x =$$

$$0.5(\psi_y^o(+1_x)\omega_{i+1,j} - \psi_y^o(-1_x)\omega_{i-1,j}) \hbar_j^y - 0.5(\psi_x^o(+1_y)\omega_{j+1} - \psi_x^o(-1_y)\omega_{j-1}) \hbar_i^x$$

$$\mathcal{K}_h^{(1)}(\psi, \omega) = (\psi_y^o \omega)_x^o - (\psi_x^o \omega)_y^o$$

# Аппроксимация конвективных членов в уравнении теплопроводности.



Потоки в серединах сторон ячейки  $S_{ij}$  :

$$W_{i+1/2,j}^x = \frac{u_{i+1,j} + u_{ij}}{2} \cdot \frac{T_{i+1,j} + T_{ij}}{2}$$

$$= \frac{1}{4} (\psi_y (+1_x) + \psi_y) (T_{i+1,j} + T_{ij})$$

$$W_{ij+1/2}^y = \frac{v_{ij+1} + v_{ij}}{2} \cdot \frac{T_{ij+1} + T_{ij}}{2}$$

$$= -\frac{1}{4} (\psi_x (+1_y) + \psi_x) (T_{ij+1} + T_{ij})$$

$$\begin{aligned} \mathcal{K}_h^{(2)}(\psi, T) \tilde{h}_i^x \tilde{h}_j^y = & (\psi_y(i+1/2)T_{i+1/2,j} - \psi_y(i-1/2)T_{i-1/2,j}) \tilde{h}_j^y - \\ & (\psi_x(j+1/2)T_{ij+1/2} - \psi_x(j-1/2)T_{ij-1/2}) \tilde{h}_i^x \end{aligned}$$

$$\mathcal{K}_h^{(2)}(\psi, T) = W_{\tilde{x}}^x + W_{\tilde{y}}^y$$

Проверим выполнение условия (2) для этой аппроксимации.

(С граничными условиями разберитесь, пожалуйста, самостоятельно)

# Вычисление скалярного произведения.

$$\begin{aligned}
 & \frac{1}{4} \sum_{ij} \hbar_j^y \left[ T_{ij} (\psi_y^+ (+1_x) + \psi_y^0) (T_{i+1j} + T_{ij}) - T_{ij} (\psi_y^+ (-1_x) + \psi_y^0) (T_{ij} + T_{i-1j}) \right] - \\
 & \frac{1}{4} \sum_{ij} \hbar_i^x \left[ T_{ij} (\psi_x^+ (+1_y) + \psi_x^0) (T_{ij+1} + T_{ij}) - T_{ij} (\psi_x^+ (-1_y) + \psi_x^0) (T_{ij} + T_{ij-1}) \right] \\
 & \stackrel{(1)}{=} \frac{1}{4} \sum_{ij} \hbar_j^y \left[ \underline{T_{i-1j} \psi_y^0 (T_{ij} + T_{i-1j})} + \underline{T_{ij} \psi_y^0 (T_{i+1j} + T_{ij})} \right] - \\
 & \frac{1}{4} \sum_{ij} \hbar_j^y \left[ \underline{T_{ij} \psi_y^0 (T_{ij} + T_{i-1j})} + \underline{T_{i+1j} \psi_y^0 (T_{i+1j} + T_{ij})} \right] = \\
 & \frac{1}{4} \sum_{ij} \hbar_j^y \left[ \psi_y^0 (T_{i-1j} - T_{ij}) (T_{i-1j} + T_{ij}) + \psi_y^0 (T_{ij} - T_{i+1j}) (T_{ij} + T_{i+1j}) \right] = \\
 & \frac{1}{4} \sum_{ij} \hbar_j^y \left[ \psi_y^0 (T_{i-1j}^2 - T_{i+1j}^2) \right] = -\frac{1}{2} \sum_{ij} \hbar_i^x \hbar_j^y \psi_y^0 T_x^2 \\
 & \stackrel{(1)}{\sum} + \stackrel{(2)}{\sum} = \frac{1}{2} \sum_{ij} \hbar_i^x \hbar_j^y \left[ -\psi_y^0 T_x^2 + \psi_x^0 T_y^2 \right] = \frac{1}{2} \sum_{ij} \hbar_i^x \hbar_j^y \left[ T_{ij}^2 \psi_{y\ x}^0 - T_{ij}^2 \psi_{x\ y}^0 \right] = 0
 \end{aligned}$$

Аппроксимация  $\mathcal{K}_h^{(2)}(\psi, T)$  годится для уравнения теплопроводности.

## Аппроксимация по времени.

Рассмотрим семейство разностных схем с весами, полученное в результате дискретизации по времени дифференциально - разностного уравнения переноса завихренности (Лекция 6)

$$\omega_t + \mathcal{K}_h \left( \psi^{(\sigma_1)}, \omega^{(\sigma_2)} \right) = \frac{1}{\text{Re}} \left( \omega_{x\tilde{x}}^{(\sigma_3)} + \omega_{y\tilde{y}}^{(\sigma_3)} \right) \quad (3)$$

$$\psi_{x\tilde{x}} + \psi_{y\tilde{y}} = -\omega \quad (4)$$

На границе:

$$\mathcal{G} \left( \omega^{(\sigma_3)}, \psi^{(\sigma_4)} \right) = 0. \quad (5)$$

$$\psi = 0 \quad (6)$$

Здесь  $\mathcal{G} \left( \omega^{(\sigma_3)}, \psi^{(\sigma_4)} \right)$  - определяет значение вихря на границе по формуле Тóма.

# Аппроксимация по времени: $\sigma^{(1)}=0$ , $\sigma^{(2)}=\sigma^{(3)}=1$ , $\sigma^{(4)}=0$ .

На каждом шаге по времени сначала решается уравнение (3) с граничным условием (5).

$$\begin{cases} \omega_t + \mathcal{K}_h(\psi, \hat{\omega}) &= \frac{1}{\text{Re}} (\hat{\omega}_{x\tilde{x}} + \hat{\omega}_{y\tilde{y}}) \\ \mathcal{G}(\hat{\omega}, \psi) &= 0. \end{cases}$$

Затем  $\hat{\psi}$  находится из уравнения (4) с граничным условием (6).

$$\begin{cases} \hat{\psi}_{x\tilde{x}} + \hat{\psi}_{y\tilde{y}} &= -\hat{\omega} \\ \hat{\psi} &= 0 \end{cases}$$

Такой способ решения приводит к ограничению на величину шага по времени  $\tau \leq \tau^* = \gamma \min((h_i^x)^2, (h_j^y)^2) \text{Re}$ ,  $\gamma \leq \frac{3}{2}$ .

Основной причиной ограничений на величину шага по времени является вычисление  $\omega$  на границе по значениям  $\psi$  с предыдущего слоя, т.е. локальное задание граничных условий для вихря.



## Аппроксимация по времени. Нарушение закона сохранения завихренности.

Должно быть:  $\sum_{(i,j) \in (\bar{I} \times \bar{J})} \hat{\omega}_{ij} dS_{ij} = 0$ . Доказательство основано на том, что  $\psi$  и  $\omega$  на границе принадлежат одному и тому же слою.

$$\begin{aligned} & \sum_{(i,j) \in (\bar{I} \times \bar{J})} \hat{\omega}_{ij} dS_{ij} = \\ & \sum_{j \in J} \hat{h}_j^y \left[ \left( -\hat{\psi}_{\bar{x}, N_{xj}} + \hat{\omega}_{N_{xj}} \frac{h_{N_{xj}}^x - 1/2}{2} \right) + \left( \hat{\psi}_{x, 0j} + \hat{\omega}_{0j} \frac{h_{1/2}^x}{2} \right) \right] + \\ & \sum_{i \in I} \hat{h}_i^x \left[ \left( -\hat{\psi}_{\bar{y}, iN_y} + \hat{\omega}_{iN_y} \frac{h_{N_y}^y - 1/2}{2} \right) + \left( \hat{\psi}_{y, i0} + \hat{\omega}_{i0} \frac{h_{1/2}^y}{2} \right) \right] = 0. \end{aligned}$$

А у нас получилось

$$-\psi_{\bar{x}, N_{xj}} + \hat{\omega}_{N_{xj}} \frac{h_{N_{xj}}^x - 1/2}{2} = -\hat{\psi}_{\bar{x}, N_{xj}} - \tau \psi_{t\bar{x}, N_{xj}} + \hat{\omega}_{N_{xj}} \frac{h_{N_{xj}}^x - 1/2}{2} \dots$$

Поэтому

$$\sum_{(i,j) \in (\bar{I} \times \bar{J})} \hat{\omega}_{ij} dS_{ij} = -\tau F,$$

где  $F = \sum_{j \in J} \hat{h}_j^y [-\psi_{t\bar{x}, N_{xj}} + \psi_{tx, 0j}] + \sum_{i \in I} \hat{h}_i^x [-\psi_{t\bar{y}, iN_y} + \psi_{ty, i0}]$

# Аппроксимация по времени: $\sigma^{(1)}=0$ , $\sigma^{(2)}=\sigma^{(3)}=1$ , $\sigma^{(4)}=1$ .

$$\left\{ \begin{array}{lcl} \omega_t + \mathcal{K}_h(\psi, \hat{\omega}) & = & \frac{1}{\text{Re}} (\hat{\omega}_{x\tilde{x}} + \hat{\omega}_{y\tilde{y}}) \\ \mathcal{G}(\hat{\omega}, \hat{\psi}) & = & 0. \\ \hat{\psi}_{x\tilde{x}} + \hat{\psi}_{y\tilde{y}} & = & -\hat{\omega} \\ \hat{\psi} & = & 0 \end{array} \right.$$

Это система сеточных уравнений относительно вектора  $X = (\omega, \psi)^T$ . Во внутренних узлах области она имеет вид:

$$\mathbf{A}_{ij} \hat{X}_{i-1j} + \mathbf{D}_{ij} \hat{X}_{ij} + \mathbf{B}_{ij} \hat{X}_{i+1j} + \bar{\mathbf{A}}_{ij} \hat{X}_{ij-1} + \bar{\mathbf{B}}_{ij} \hat{X}_{ij+1} = \mathbf{F}_{ij} \quad (7)$$

Здесь  $\mathbf{A}_{ij}$ ,  $\mathbf{B}_{ij}$ ,  $\mathbf{D}_{ij}$ ,  $\bar{\mathbf{A}}_{ij}$ ,  $\bar{\mathbf{B}}_{ij}$  матрицы второго порядка. Например,

# Матричный алгоритм.

Во внутренних узлах:

$$\mathbf{A}_{ij} = \begin{pmatrix} \frac{\hbar_j^y}{2} \psi_y (-1_x) - \frac{\hbar_j^y}{Re \hbar_{i-1/2}^x} & 0 \\ 0 & \frac{\hbar_j^y}{\hbar_{i-1/2}^x} \end{pmatrix};$$

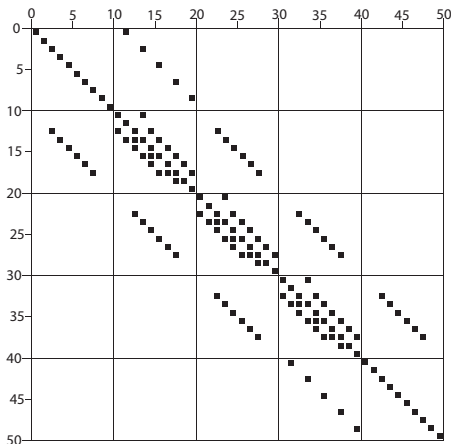
$$\mathbf{D}_{ij} = \begin{pmatrix} \frac{2\tau}{Re} \left( \frac{\hbar_i^x \hbar_j^y}{\hbar_{i+1/2}^x \hbar_{i-1/2}^x} + \frac{\hbar_i^x \hbar_j^y}{\hbar_{j+1/2}^y \hbar_{j-1/2}^y} \right) + \hbar_i^x \hbar_j^y & 0 \\ \hbar_i^x \hbar_j^y & \frac{2\hbar_i^x \hbar_j^y}{\hbar_{i+1/2}^x \hbar_{i-1/2}^x} + \frac{2\hbar_i^x \hbar_j^y}{\hbar_{j+1/2}^y \hbar_{j-1/2}^y} \end{pmatrix}$$

На границе  $y = 0$ :

$$\mathbf{D}_{i0} \hat{X}_{i0} + \bar{\mathbf{B}}_{i0} \hat{X}_{i1} = 0$$

$$\mathbf{D}_{i0} = \begin{pmatrix} \frac{\hbar_i^x \hbar_{1/2}^y}{2} & 0 \\ 0 & \frac{\hbar_i^x \hbar_{1/2}^y}{2} \end{pmatrix}; \quad \bar{\mathbf{B}}_{i0} = \begin{pmatrix} 0 & \frac{\hbar_i^x}{\hbar_{1/2}^y} \\ 0 & 0 \end{pmatrix}$$

## Структура матрицы системы линейных уравнений.



Структура матрицы системы линейных уравнений для определения вектора неизвестных  $X_{ij} = (\omega_{ij}, \psi_{ij})^T$ . Сетка  $5 \times 5$ .

**Нелинейный матричный алгоритм:**  $\sigma^{(1)}=1, \sigma^{(2)}=\sigma^{(3)}=1, \sigma^{(4)}=1.$

$$\begin{aligned}\mathcal{F}_{ij}^{(1)} &= (\omega_{ij})_t + \mathcal{K}_h \left( \widehat{\psi}_{ij}, \widehat{\omega}_{ij} \right) - \frac{1}{Re} \left( (\widehat{\omega}_{ij})_{x\tilde{x}} + (\widehat{\omega}_{ij})_{y\tilde{y}} \right) = 0 \\ \mathcal{F}_{ij}^{(2)} &= \widehat{\omega}_{ij} + (\widehat{\psi}_{ij})_{x\tilde{x}} + (\widehat{\psi}_{ij})_{y\tilde{y}} = 0.\end{aligned}\quad (8)$$

Пусть известны значения  $\omega_{ij}^{(s)}$  и  $\psi_{ij}^{(s)}$  на  $s$ -ой итерации по Ньютону. Тогда на следующей итерации  $\omega_{ij}^{(s+1)} = \omega_{ij}^{(s)} + \delta\omega_{ij}$ ;  $\psi_{ij}^{(s+1)} = \psi_{ij}^{(s)} + \delta\psi_{ij}$ , где  $\delta\omega_{ij}$ ,  $\delta\psi_{ij}$  удовлетворяют системе линейных уравнений

$$\sum_{l,m \in \mathcal{S}_{ij}^{(1)}} \frac{\partial \mathcal{F}_{ij}^{(1)}}{\partial \omega_{lm}} \delta\omega_{lm} + \frac{\partial \mathcal{F}_{ij}^{(1)}}{\partial \psi_{lm}} \delta\psi_{lm} = -\mathcal{F}_{ij}^{(1)} \quad (9)$$

$$\sum_{l,m \in \mathcal{S}_{ij}^{(2)}} \frac{\partial \mathcal{F}_{ij}^{(2)}}{\partial \omega_{lm}} \delta\omega_{lm} + \frac{\partial \mathcal{F}_{ij}^{(2)}}{\partial \psi_{lm}} \delta\psi_{lm} = -\mathcal{F}_{ij}^{(2)} \quad (ij) \in (\bar{I} \times \bar{J}) \quad (10)$$

$\mathcal{S}_{ij}^{(\alpha)}$ ,  $\alpha = 1, 2$  – шаблон разностной схемы в точке  $(ij)$

## Общие замечания

- Последовательные алгоритмы устойчивы при  
 $\tau \leq \tau^* \sim h_{min}^2$
- Матричные алгоритмы (совместные алгоритмы = coupled algorithms) обладают большим запасом устойчивости, а нелинейный матричный алгоритм практически безусловно устойчивый.
- Эффективность использования матричных алгоритмов существенно зависит от метода решения системы линейных уравнений.